



Р Ф Я Ц  
ВНИИЭФ

# Ближний порядок в сильно коррелированных системах (вариационный подход)



Ю.Б.Кудасов\*, Р.В.Козабаранов

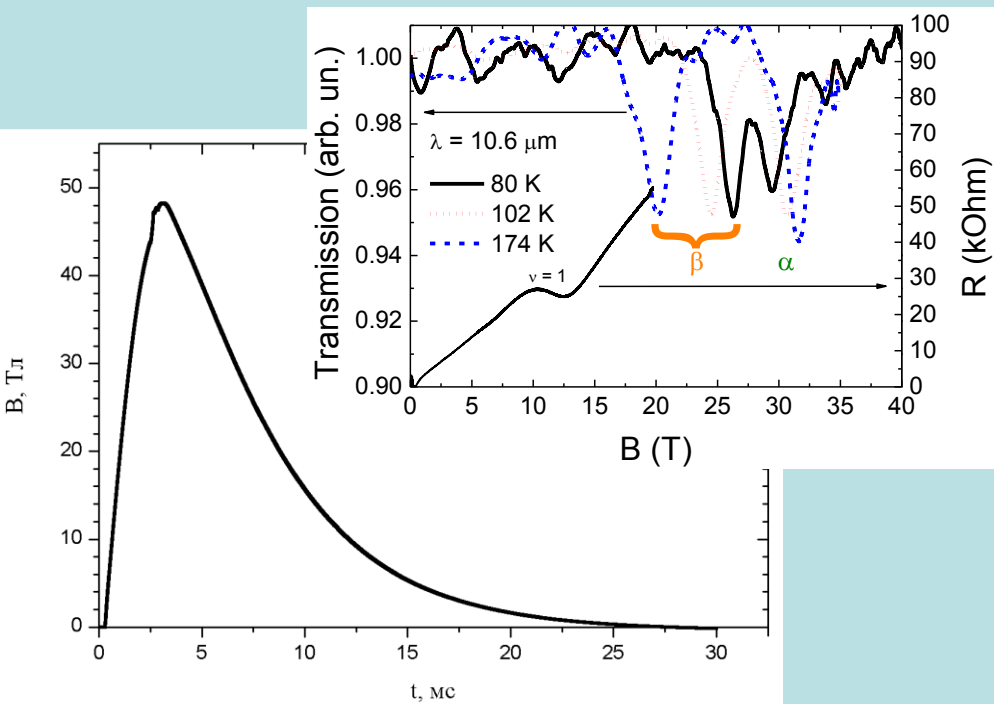
*Лаборатория сильных магнитных полей  
Саровский физико-технический институт НИЯУ «МИФИ»  
б, ул. Духова, г.Саров, Нижегородская обл., 607186, Россия*

*Российский федеральный ядерный центр – ВНИИЭФ  
37, пр. Мира, г.Саров, Нижегородская обл., 607188, Россия*

\* [yu\\_kudasov@yahoo.com](mailto:yu_kudasov@yahoo.com)

# Лаборатория сильных магнитных полей СарФТИ НИЯУ МИФИ

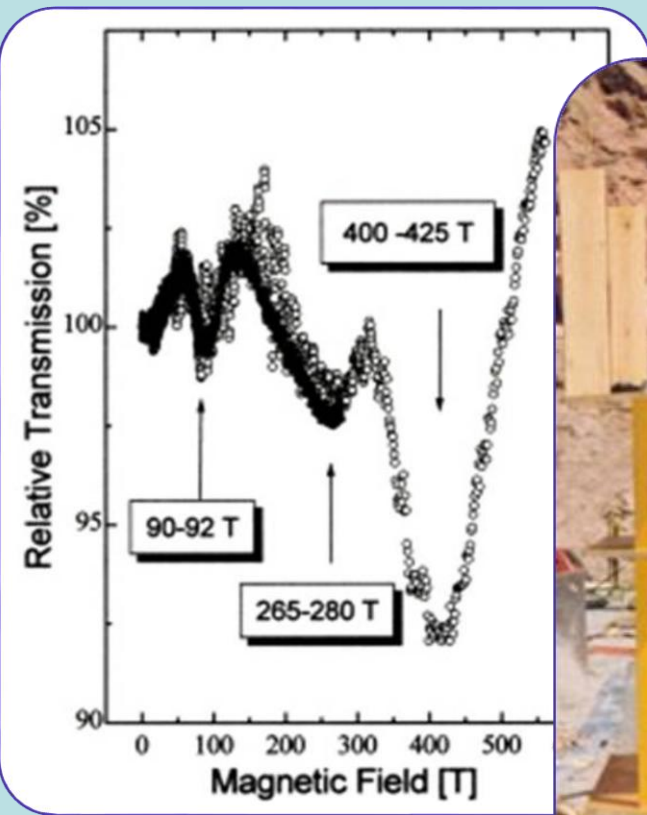
## Циклотронный резонанс в гетероструктурах HgCdTe



# Лаборатория сверхсильных магнитных полей РФЯЦ-ВНИИЭФ

## Циклотронный резонанс в кубическом GaN p-типа

Циклотронный резонанс в кубическом GaN p-типа



**Генератор МК-1**  
рекордные магнитные поля



**50-Тл соленоид**

# План доклада

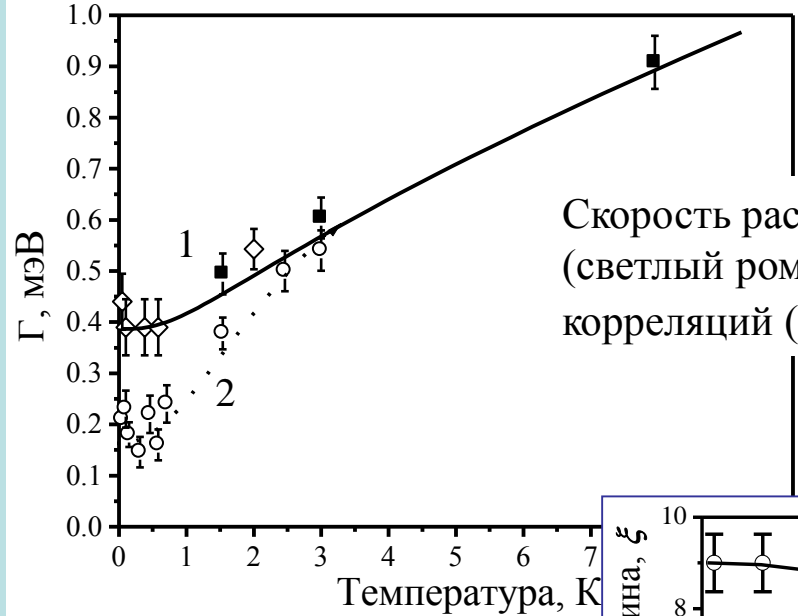
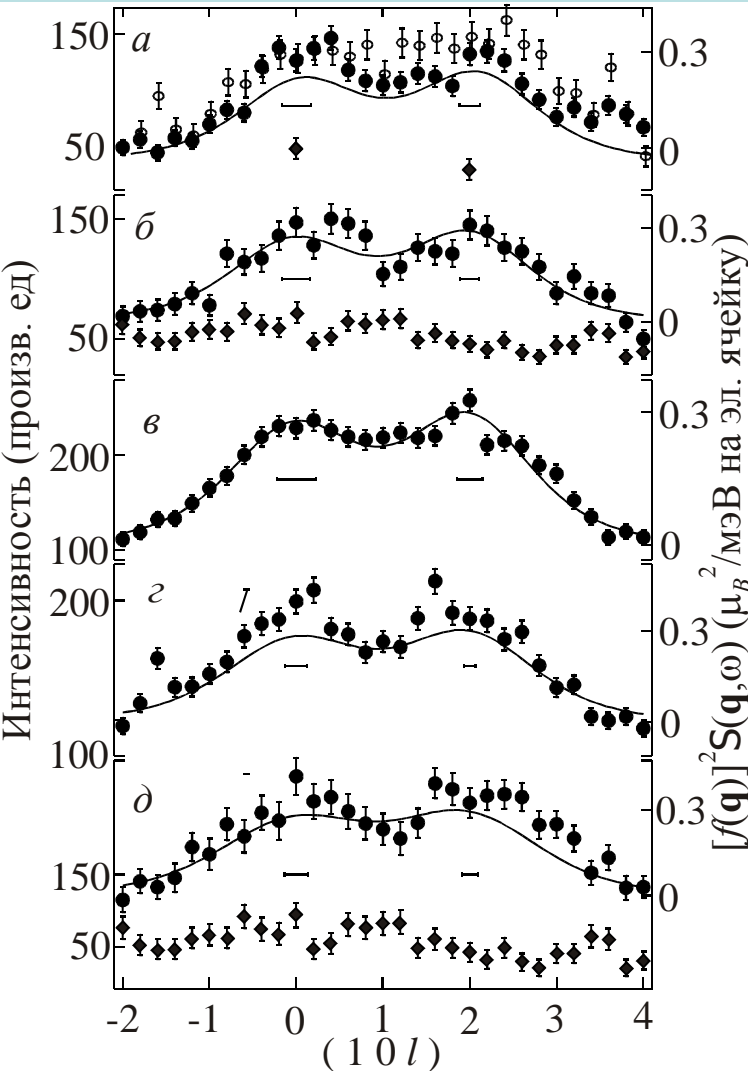
1. Введение (наблюдение ближнего порядка, методы расчета сильно коррелированных ферми-систем)
2. Пробная волновая функция Гуцвиллера, энергия основного состояния, спектр возбуждений
3. Нелокальные пробные волновые функции
4. Ближний порядок в модели Хаббарда и Кондо-решетках
5. Низкоразмерные магнитные системы
6. Заключение

# Наблюдение ближнего порядка (сильно коррелированные ферми-системы)



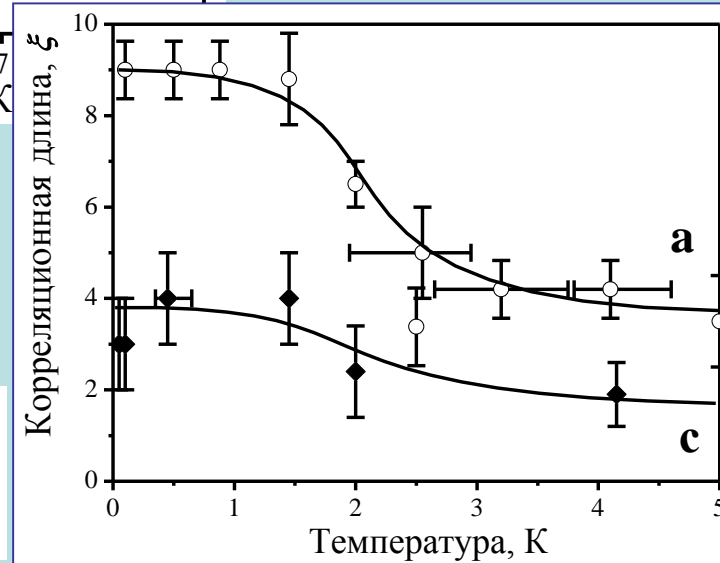
W. Bao et al. *PRB* **58** 12727 (1998)

J Rossat-Mignod et al. *JMMM* **76&77** 376 (1988)

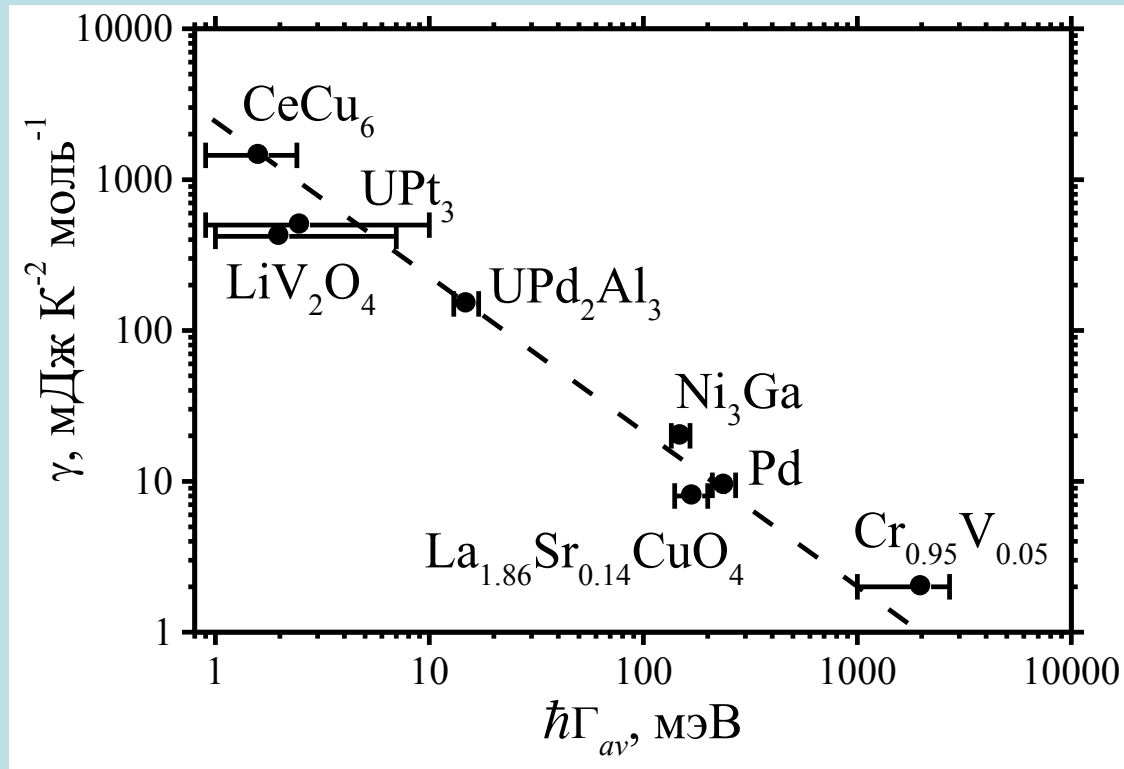


Скорость распада внутриузельных  $\Gamma_{SS}$   
(светлый ромб) и межузельных  $\Gamma_{IS}$   
корреляций (светлый кружок)

Корреляционная длина вдоль  
кристаллографических осей  
**а** и **с**



# Константа Зоммерфельда как функция усредненного времени релаксации



S.M.Hayden et al., PRL 84 (2000) 999

S.-H. Lee et al., PRL 86 (2001) 5554

## Выводы:

- Развитие сильно коррелированного состояния практически всегда сопровождается возникновением сильного ближнего порядка
- Энергия спиновых флуктуаций и скорость их релаксации уменьшается с увеличением эффективной массы подвижных носителей заряда
- Сильные ближние корреляции нельзя трактовать как квазичастичные возбуждения, т.к. скорость их релаксации сравнима с энергией возбуждения.

# Теоретическое описание сильно коррелированного состояния

1. Модель Хаббарда: 
$$H = t \sum_{ij, \sigma} \hat{a}_{i\sigma}^+ \hat{a}_{j\sigma} + U \sum_i \hat{n}_{i\uparrow} \hat{n}_{i\downarrow}$$

## Методы решения:

- Техника функций Грина (расцепление цепочек бесконечных уравнений и т.д.)
- Спин-волновая теория (Мория)
- Численные методы (квантовый Монте Карло и т.д.)
- Вариационный метод Гуцвиллера
- ...

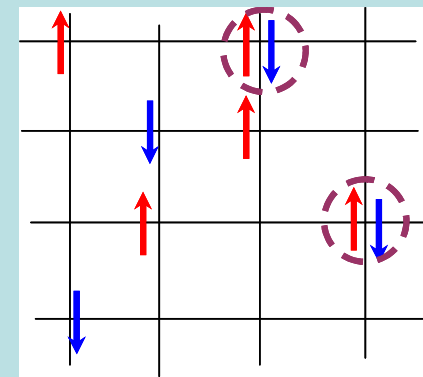
Сильно коррелированное состояние электронов в узких зонах с сильным локальным кулоновским взаимодействием

Переход металл-изолятор

## 2. Кондо-решетки

Взаимодействие электронов проводимости с локализованными примесями.

## 3. Системы с переменной валентностью



# Пробная волновая функция Гутцвиллера

M.S.Gutzwiller, Phys.Rev. 137 (1965) A1726

$$\hat{X} = \sum_i \hat{n}_{i\uparrow} \hat{n}_{i\downarrow}$$

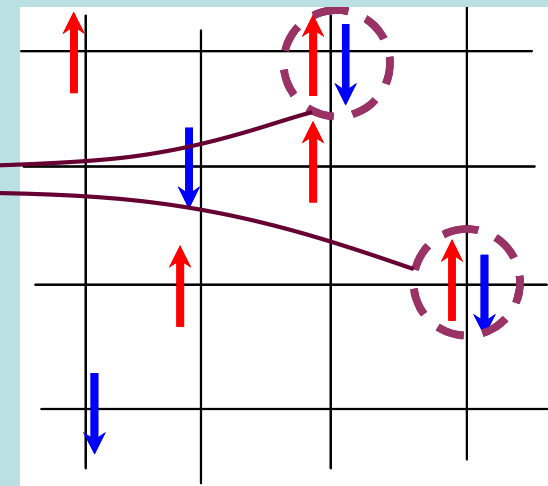
$$|\psi\rangle = g_0^{\hat{X}} |\varphi_0\rangle$$

$g_0$  – положительный параметр  
( $0 < g_0 < 1$  при  $U > 0$ )

$$|\varphi_0\rangle = \prod_{\mathbf{k} < \mathbf{k}_{F\uparrow}} \hat{a}_{\mathbf{k}\uparrow}^+ \prod_{\mathbf{k} < \mathbf{k}_{F\downarrow}} \hat{a}_{\mathbf{k}\downarrow}^+ |0\rangle$$

$$|\varphi_0(\mathbf{k}_1, \mathbf{k}_2, \dots; \sigma_1, \sigma_2, \dots)\rangle = \sum_{\Gamma} A_{\Gamma} |\Gamma(\mathbf{r}_1, \mathbf{r}_2, \dots; \sigma_1, \sigma_2, \dots)\rangle$$

$$|\psi(\mathbf{k}_1, \mathbf{k}_2, \dots; \sigma_1, \sigma_2, \dots)\rangle = \sum_{\Gamma} g_0^{X_{\Gamma}} A_{\Gamma} |\Gamma(\mathbf{r}_1, \mathbf{r}_2, \dots; \sigma_1, \sigma_2, \dots)\rangle$$



## Свойства пробной волновой функции:

- Антисимметричная по перестановкам частиц
- Сохраняет трансляционную и точечную симметрию исходной волновой функции
- Уменьшает вероятность двухкратнозанятых узлов
- Преобразование  $\varphi_0 \Rightarrow \psi$  неунитарное. Норма волновой функции не сохраняется.

# Энергия основного состояния

Приближение Гуцвиллера: соседние узлы статистически независимы

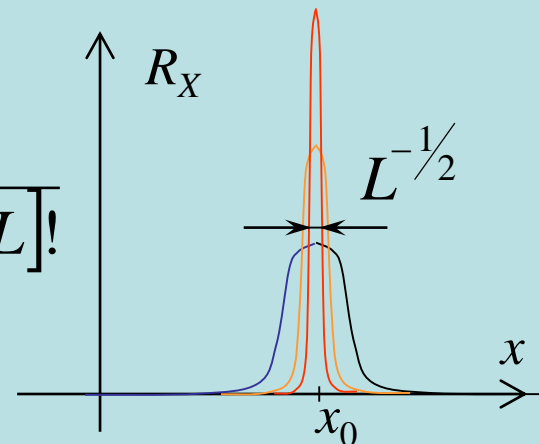
$$\langle \psi | \psi \rangle = \sum_{\Gamma} g_0^{2X_{\Gamma}} |A_{\Gamma}|^2 = \sum_X g_0^{2X} |\bar{A}_X|^2 W_X = \sum_X R_X |\bar{A}_X|^2$$

Весовой множитель

$$R_X = g_0^{xL} W_X = \frac{g_0^{xL} L!}{(xL)! [(n_{\uparrow} - x)L]! [(n_{\downarrow} - x)L]! [(1 - n_{\uparrow} - n_{\downarrow} + x)L]!}$$

$$x = X / L, \quad n_{\sigma} = N_{\sigma} / L$$

$$\frac{\partial [\ln R_x]}{\partial x} = 0 \Rightarrow g_0(x)$$



Энергия основного состояния  $E = \sum_{\sigma} q_{\sigma} \bar{\varepsilon}_{\sigma} + xU, \quad q \leq 1$

$$\varepsilon_{\sigma}^0 = \sum_{\mathbf{k} < \mathbf{k}_F} \varepsilon_{\mathbf{k}\sigma}^0$$

$$q_{\sigma} = \frac{\left\{ [(n_{\sigma} - x)(1 - n_{\sigma} - n_{-\sigma} + x)]^{1/2} + [x(n_{-\sigma} + x)]^{1/2} \right\}^2}{n_{\sigma}(1 - n_{\sigma})}$$



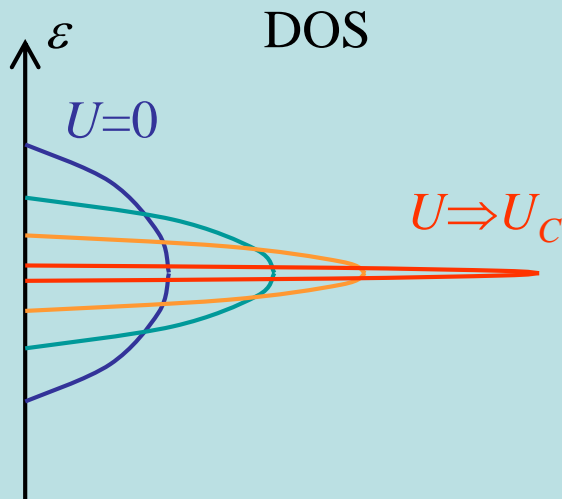
# Одночастичные спектры, переход металл-изолятор

F.Gebhard, The Mott Metal-Insulator transition, Model and Methods, Springer, 1997

## Спектр возбуждений

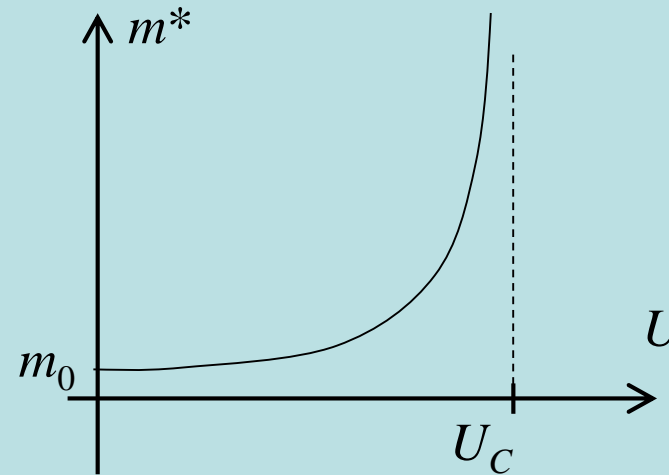
(перенормировка исходного спектра)

$$\varepsilon_{\mathbf{k}\sigma} = q_{\sigma} \varepsilon_{\mathbf{k}\sigma}^0$$



## Перенормировка эффективной массы

$$m_{\sigma}^* = m_0 / q_{\sigma}$$



Переход металл-изолятор Бринкмана-Райса: масса квазичастиц стремится к  $\infty$  (локализация).

Принципиально отличается от перехода в приближении Хаббард III

**В приближении Гуцвиллера отсутствуют нелокальные корреляции**

# Применение пробной волновой функции Гутцвиллера

- Точное решение модели Хаббарда  $D=\infty$
- Многозонные и расширенные модели (N.Lanata et al., PRB **85** (2012) 035133)
- Функционал плотности Гутцвиллера (K. M. Ho et al., PRB **77** (2008) 073101)

$$E[n(\mathbf{r})] = \sum_{\sigma} q_{\sigma}[n(\mathbf{r})] \bar{\epsilon}_{\sigma}[n(\mathbf{r})] + x[n(\mathbf{r})] U$$

- Предельный случай  $g_0 \Rightarrow 0$  RVB состояние, теория сверхпроводимости (B.Edegger et al., arXiv:cond-mat/0512646 (2005))
- Численные расчеты с пробной волновой функцией Гутцвиллера без привлечения приближения Гутцвиллера – вариационный Монте Карло (H. Yokoyama, H. Shiba, J. Phys. Soc. Jap. **56** (1987) 3582 )
- Неоднородные сильно коррелированные металлы и мотт-хаббардовские изоляторы, интерфейсы, поверхности и т.д. (G. Borghi, PhD Gutzwiller Approximation applied to inhomogeneous lattice models and solid state system, thesis, SISSA, Italy, 2011)
- Магнитные системы, модель Гейзенберга (F.Gebhard, D.Vollhardt, PRB37 (1988) 6911)

## Основной недостаток:

Нелокальные корреляции либо практически совсем игнорируются (приближение Гутцвиллера) либо переносятся из исходной волновой функции. Но структура исходного и сильно коррелированного состояния сильно отличаются!

# Вариационная теория ферми-систем с ближним порядком

Ю.Б.Кудасов УФН 173 (2003) 121

Пробная функция общего вида:

$$|\psi\rangle = \hat{G}|\varphi_0\rangle = \prod_{\lambda} g_{\lambda}^{\hat{P}_{\lambda}} |\varphi_0\rangle$$

$$\hat{Y}_1 = \sum_{\langle ij \rangle} (1 - n_{i\uparrow})(1 - n_{i\downarrow})(1 - n_{j\uparrow})(1 - n_{j\downarrow}),$$

$$\hat{Y}_2 = \sum_{\langle ij \rangle} n_{i\uparrow} n_{i\downarrow} n_{j\uparrow} n_{j\downarrow}$$

С учетом условий нормировки и симметрии всего 4 независимых переменных:  $x$ ,  $y_3$ ,  $y_4$  и  $y_7$  в ПМ фазе

$$\begin{aligned} |\psi\rangle &= g_0^{\hat{X}} g_3^{\beta_3 \hat{Y}_3} g_4^{4\beta_4 \hat{Y}_4} g_7^{\beta_7 \hat{Y}_7} |\varphi_0\rangle \\ &= \hat{G}|\varphi_0\rangle \end{aligned}$$

Возможные конфигурации пары ближайших соседей  
(ПМ фаза, половинное заполнение)

Оператор	Конфигурация		Кратность вырождения
	Узел $i$	Узел $j$	
$\hat{Y}_1$			1
$\hat{Y}_2$	$\uparrow\downarrow$	$\uparrow\downarrow$	1
$\hat{Y}_3$	$\uparrow\downarrow$		2
$\hat{Y}_4$	$\uparrow$		2
$\hat{Y}_5$	$\downarrow$		2
$\hat{Y}_6$	$\uparrow$	$\uparrow$	1
$\hat{Y}_7$	$\uparrow$	$\downarrow$	2
$\hat{Y}_8$	$\uparrow\downarrow$	$\uparrow$	2
$\hat{Y}_9$	$\uparrow\downarrow$	$\downarrow$	2
$\hat{Y}_{10}$	$\downarrow$	$\downarrow$	1

# Вычисление числа размещений пар по решетке:

метод псевдоансамбля Кикучи (вариационный кластерный метод)

*R. Kikuchi, Phys. Rev. 81 (1951) 988*

*Дж. Займан, Модели беспорядка, Мир, 1982*

Число размещений пар по связям  
без учета связей

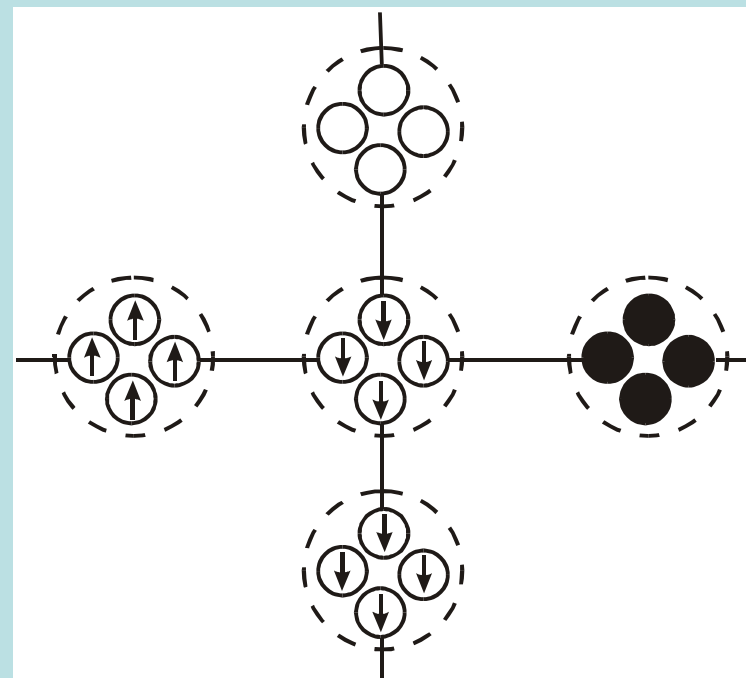
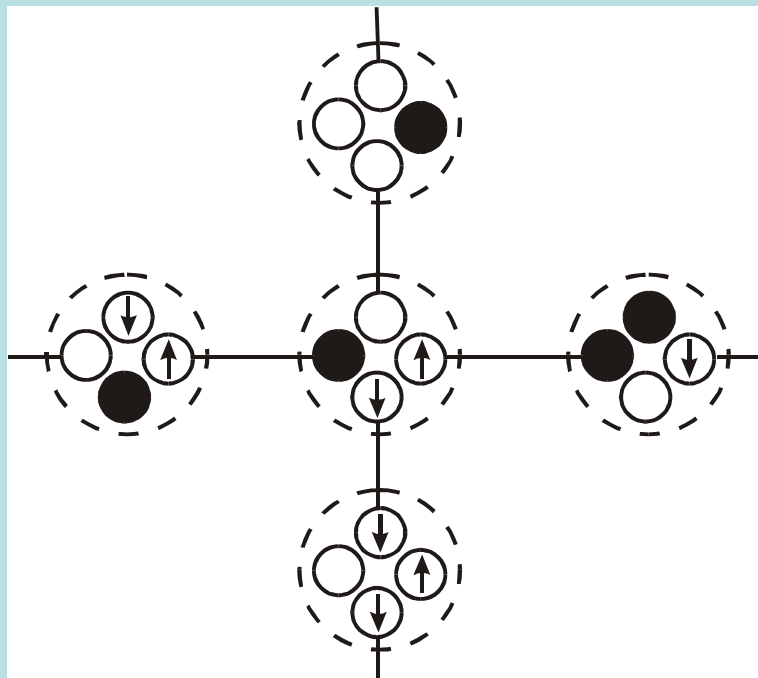
$$Q = \frac{(zL/2)!}{\prod_{\lambda} \left[ \left( zy_{\lambda}L/2 \right)! \right]^{\beta_{\lambda}}}$$

Доля правильных конфигураций

$$\Gamma = \frac{L! \prod_{\lambda} (x_{\lambda} zL)!}{(zL)! \prod_{\lambda} (x_{\lambda} L)!}$$

Число размещений пар по связям

$$W = \Gamma Q$$



# Энергия основного состояния в модели Хаббарда

(ПМ фаза половинное заполнение)

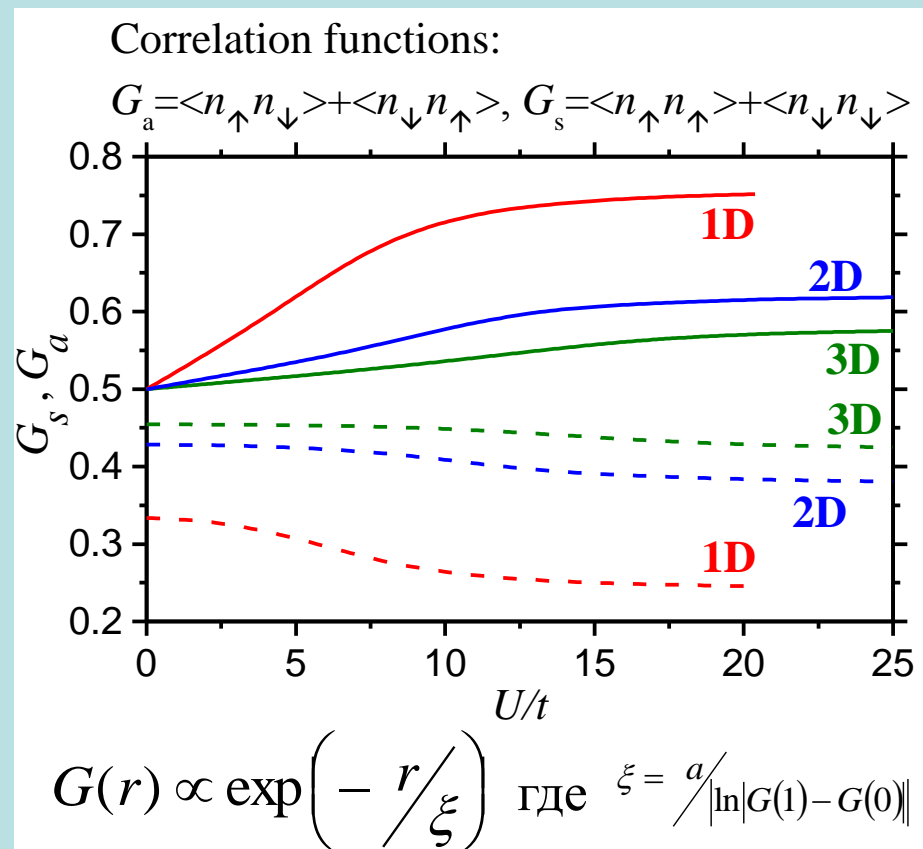
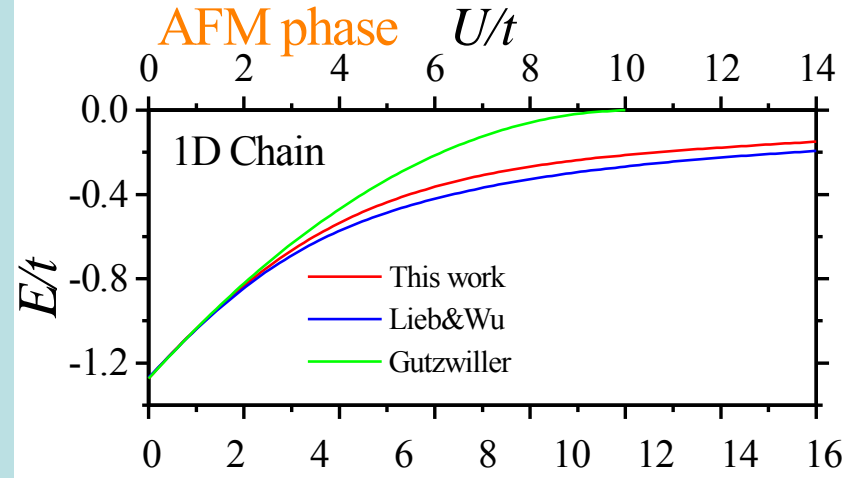
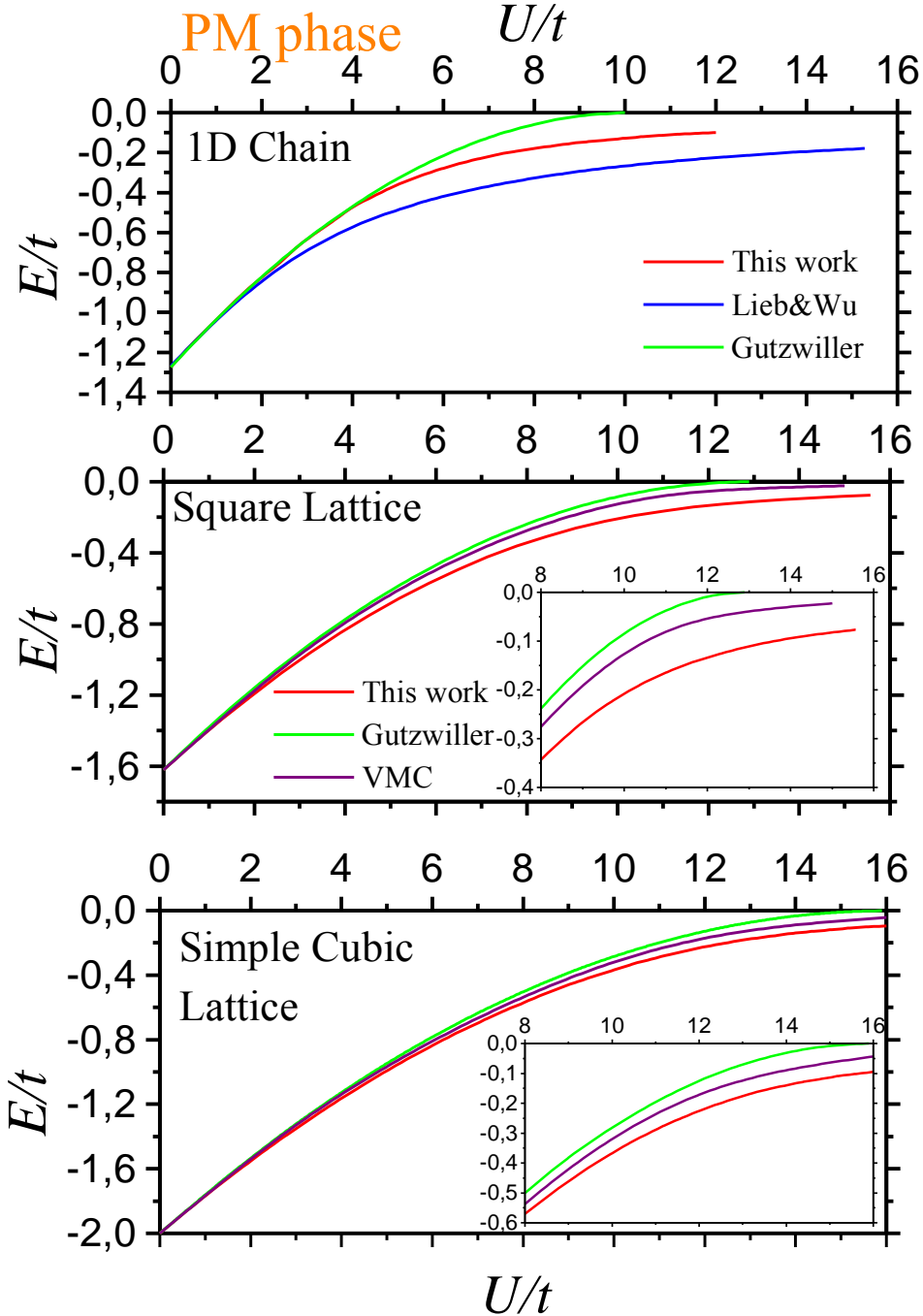
$$E = \frac{1}{L} \frac{\langle \psi | H | \psi \rangle}{\langle \psi | \psi \rangle} = q \varepsilon_0 + xU \quad q = \frac{\rho_1}{\rho_1^0}$$

$$\rho_1 = L^{-1} \frac{\langle \psi | \sum_{\langle ij \rangle, \sigma} (a_{i\sigma}^+ a_{j\sigma} + \text{h.c.}) | \psi \rangle}{\langle \psi | \psi \rangle}. \quad \rho_1^0 - \text{значение при } U=0$$

$$\rho_1 = 8 \left( y_4 + \sqrt{y_3 y_7} \right) \left[ \frac{y_4}{x \left( \frac{1}{2} - x \right)} \left( \sqrt{y_2} + \sqrt{y_3} + \sqrt{y_6} + \sqrt{y_7} \right)^2 \right]^{z-1}$$

**Энергия системы вычисляется в аналитическом виде.**

Энергия основного состояния – через численную минимизацию по вариационным переменным (усовершенствованный симплекс-метод Нелдера-Мида)



# Спектр элементарных возбуждений

Адиабатическое взаимодействие  
включение

**Когерентные**

$$|\psi_C\rangle \Rightarrow g_0^{\hat{X}} a_{\mathbf{k}\sigma}^+ |\varphi_0\rangle$$

$$\delta E = q \sum_{\mathbf{k}\sigma} \varepsilon_{\mathbf{k}\sigma}^0 \delta n_{\mathbf{k}\sigma} + \varepsilon_0 \sum_{\mathbf{k}\sigma} \frac{\partial q}{\partial n_{\sigma}} \delta n_{\mathbf{k}\sigma}$$

$$\varepsilon_{\mathbf{k}\sigma} = q \varepsilon_{\mathbf{k}\sigma}^0.$$

внезапное

включение

$$\langle \psi_N | \psi_C \rangle \rightarrow 0$$

**Некогерентные**

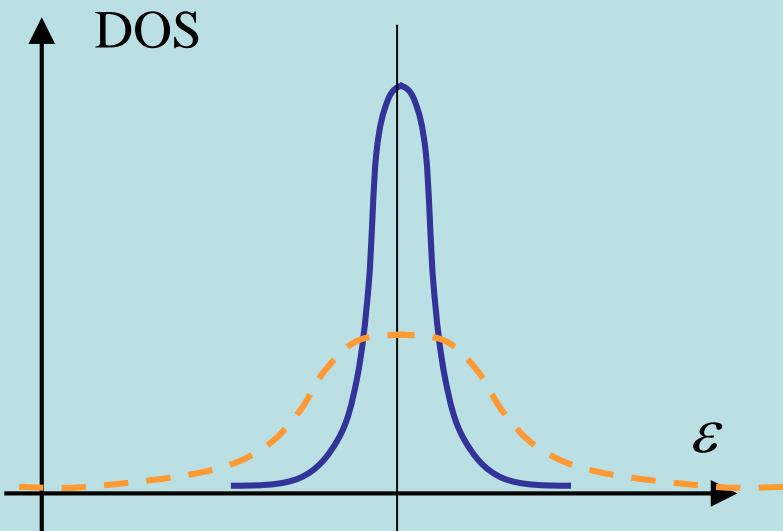
$$|\psi_N\rangle \Rightarrow a_{\mathbf{k}\sigma}^+ g_0^{\hat{X}} |\varphi_0\rangle$$

Хаббард-I и т.д.

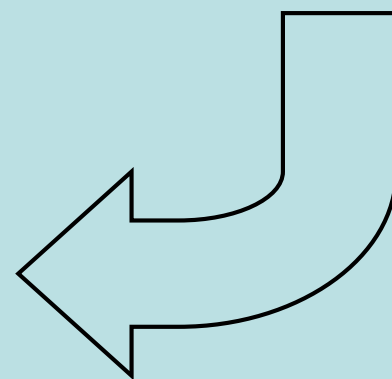
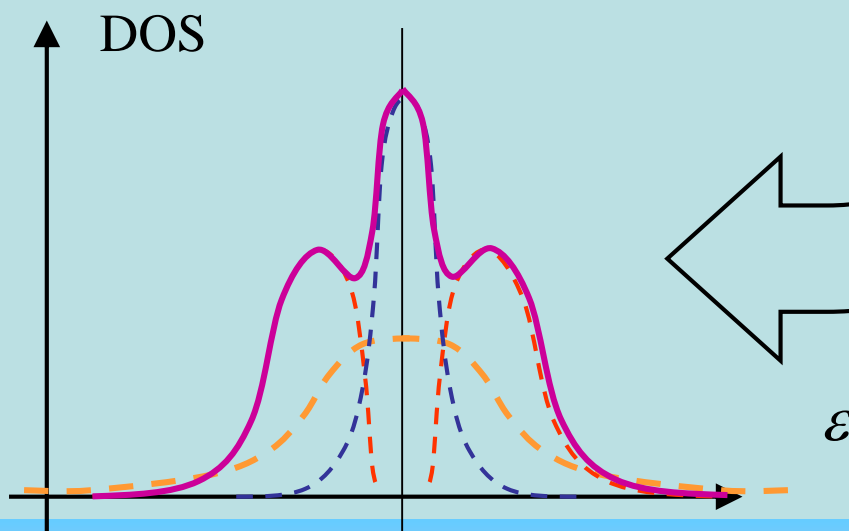
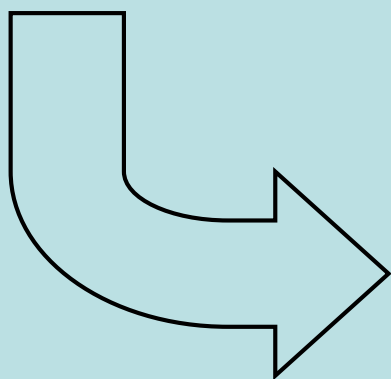
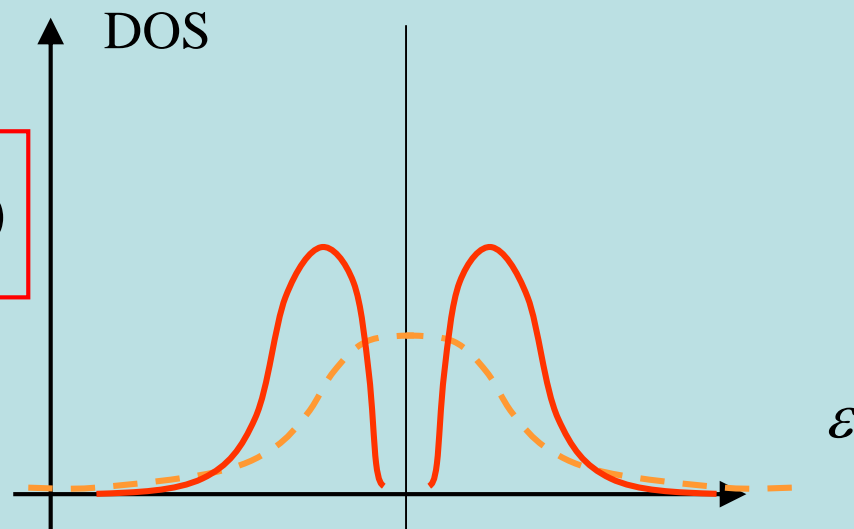
$$E\Gamma_{ij}^{\sigma} = \frac{1}{2\pi} \delta_{ij} \langle n_{i,-\sigma} \rangle + U\Gamma_{ij}^{\sigma} + \sum_{l \neq i} t_{il} \left( \langle \langle n_{i,-\sigma} a_{l\sigma} ; a_{j\sigma}^+ \rangle \rangle_E + \sum_{l \neq i} t_{il} \left( \langle \langle a_{i,-\sigma}^+ a_{l,-\sigma} a_{i\sigma} ; a_{j\sigma}^+ \rangle \rangle_E - \langle \langle a_{l,-\sigma}^+ a_{i,-\sigma} a_{i\sigma} ; a_{j\sigma}^+ \rangle \rangle_E \right) \right)$$

# Когерентные

# Некогерентные



$$\langle \psi_N | \psi_C \rangle \rightarrow 0$$

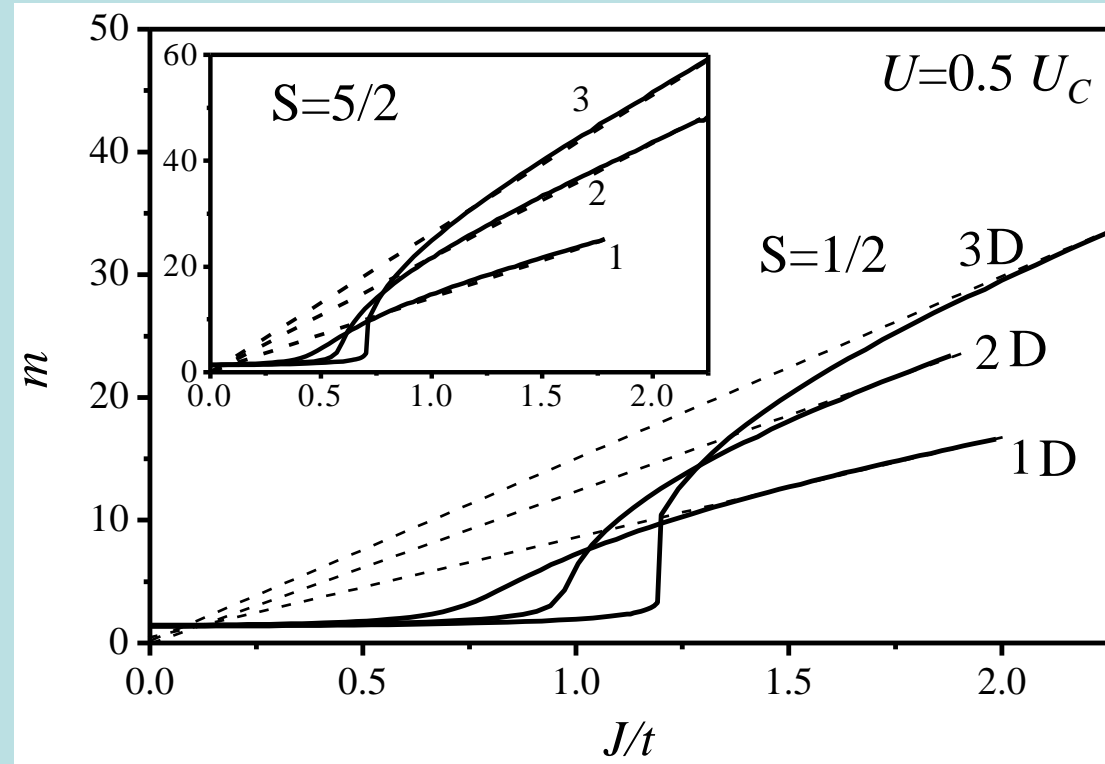
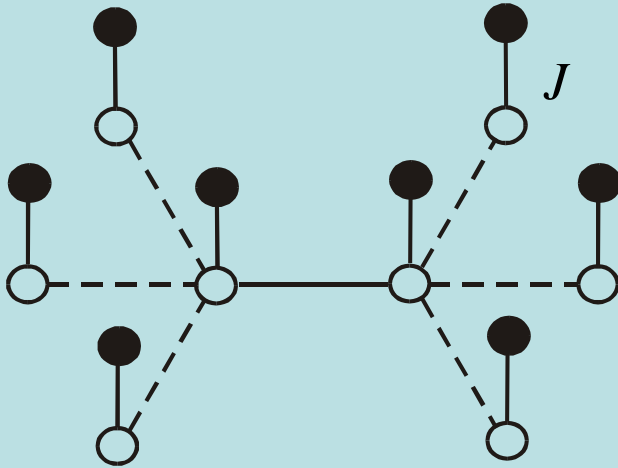




# Модель Кондо-Хаббарда (Кондо-решетки)

$$H_{KH} = H_H + J \sum_i \hat{S}_i^l \hat{S}_i^c$$

Модель Хаббарда + локализованные состояния



## Некоторые выводы

Метод позволяет:

- проводить расчет основного состояния (модели Хаббарда и расширенные, Кондо-решетки и т.д.)
- расчет спектров возбуждений

Процедура практически точная для дерева (решетка без замкнутых путей).

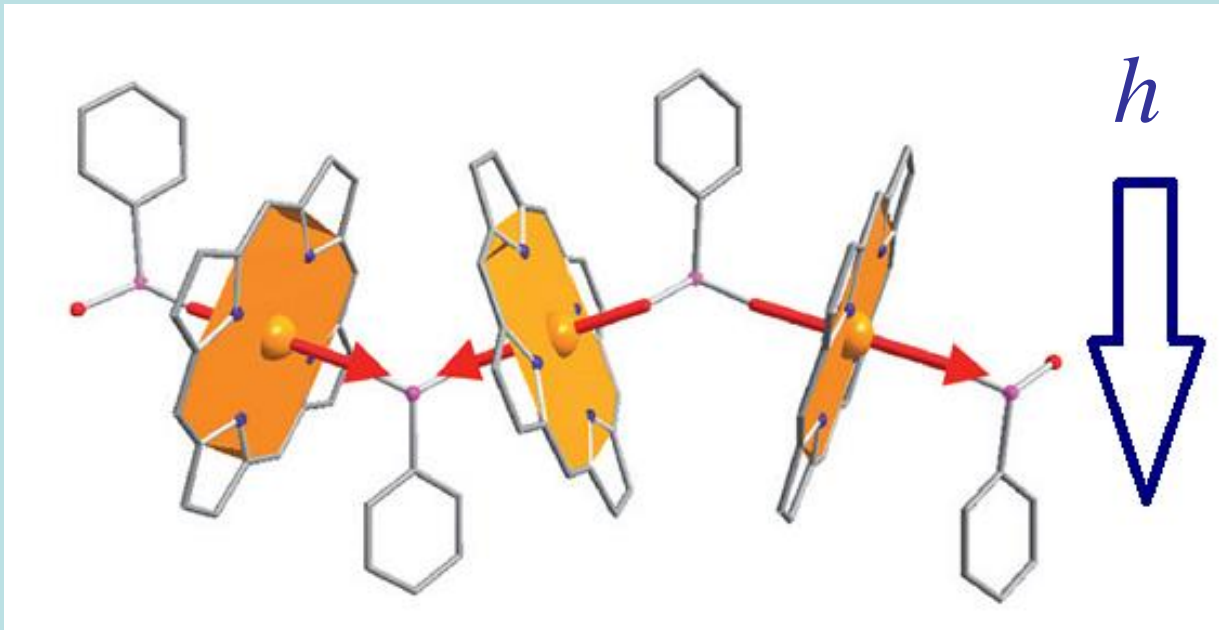
# Низкоразмерные магнитные системы

Анизотропная гейзенберговская цепочка в альтернирующем магнитном поле

*S. Paul, A. K. Ghosh, JMMM 362 (2014) 193*

(Теория среднего поля с поправками до 2-ого порядка теории возмущений)

$$\hat{H} = \sum_i^N [J(\hat{S}_i^x \hat{S}_{i+1}^x + \hat{S}_i^y \hat{S}_{i+1}^y + \Delta \hat{S}_i^z \hat{S}_{i+1}^z) + h_z (-1)^i \hat{S}_i^z]$$



Либо «альтернирующее»  
внутреннее эффективное поле  
за счет взаимодействия  
Дзялошинского-Мория либо  
внешнее поле:

$\text{Yb}_4\text{As}_3$ ,  $\text{KCuCaF}_6$  и  
органические магнетики

*L. Vogani, Jour. Mat. Chem. 18 (2008) 4733*

# Преобразование Йордана – Вигнера

(P.Jordan,E.Wigner,Z.Phys. **47** (1928) 631)

$$\hat{S}_i^+ = \hat{c}_i^+ e^{i\pi \sum_j^{i-1} \hat{n}_j}$$

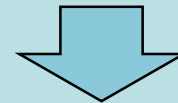
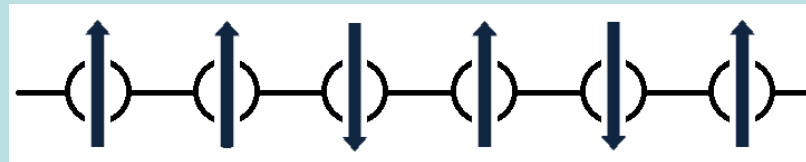
$$\hat{S}_i^- = e^{-i\pi \sum_j^{i-1} \hat{n}_j} \hat{c}_i$$

$$\hat{S}_i^z = \hat{n}_i - \frac{1}{2}$$

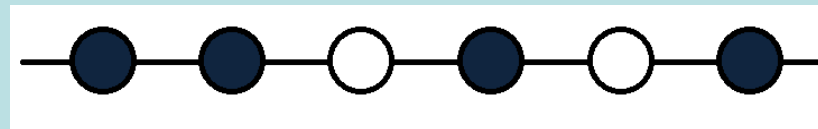
$c_i^+$  и  $c_i$  – операторы рождения и уничтожения, подчиняющиеся статистике Ферми,  $n_i$  – оператор числа частиц.

## Переход от спиновой цепочки к эквивалентной фермионной

$$s_i^z = \frac{1}{2} \quad \text{фермион находится в узле } i \quad (n_i = 1)$$



$$s_i^z = -\frac{1}{2} \quad \text{фермион отсутствует в узле } i \quad (n_i = 0)$$



# Гейзенберговская цепочка с альтернирующим магнитным полем в фермионном представлении

## Невзаимодействующие бесспиновые фермионы на цепочке

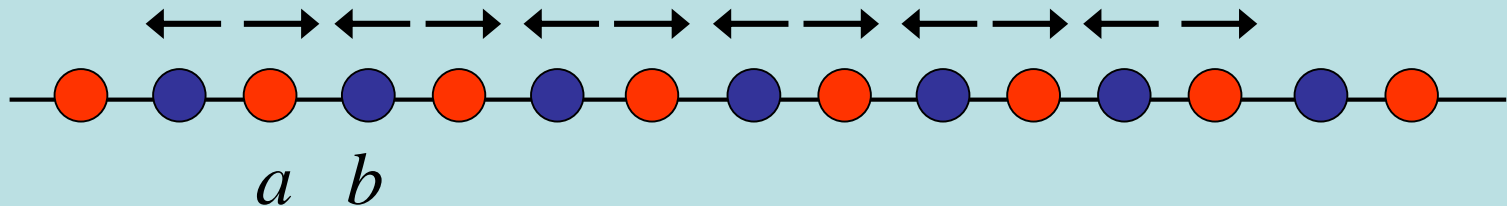
$$\hat{H}_{xy} = \frac{J}{2} \sum_i^N (\hat{a}_i^+ \hat{b}_{i+1} + H.c.) \quad \hat{H}_{stag} = h \sum_i^N (\hat{a}_i^+ \hat{a}_{i+1} - \hat{b}_{i+1}^+ \hat{b}_{i+1})$$

Для ху-цепочки с альтернирующим магнитным полем преобразование Йордана-Вигнета позволяет получить точное решение (I.Titvinidze,G.I.Japaridze, Eur.Phys.J.B 32 (2003) 383)

## Взаимодействие фермионов на соседних узлах

$$\hat{H}_{zz} = J \sum_i^N \left( \hat{a}_i^+ \hat{a}_i \hat{b}_{i+1}^+ \hat{b}_{i+1} + \hat{b}_{i+1}^+ \hat{b}_{i+1} \hat{a}_{i+2}^+ \hat{a}_{i+2} - \frac{1}{2} [\hat{a}_i^+ \hat{a}_i + 2\hat{b}_{i+1}^+ \hat{b}_{i+1} + \hat{a}_{i+2}^+ \hat{a}_{i+2}] \right)$$

Цепочка из двух сортов узлов



# Пробная волновая функция для эквивалентных фермионов

Дисперсия невзаимодействующих фермионов

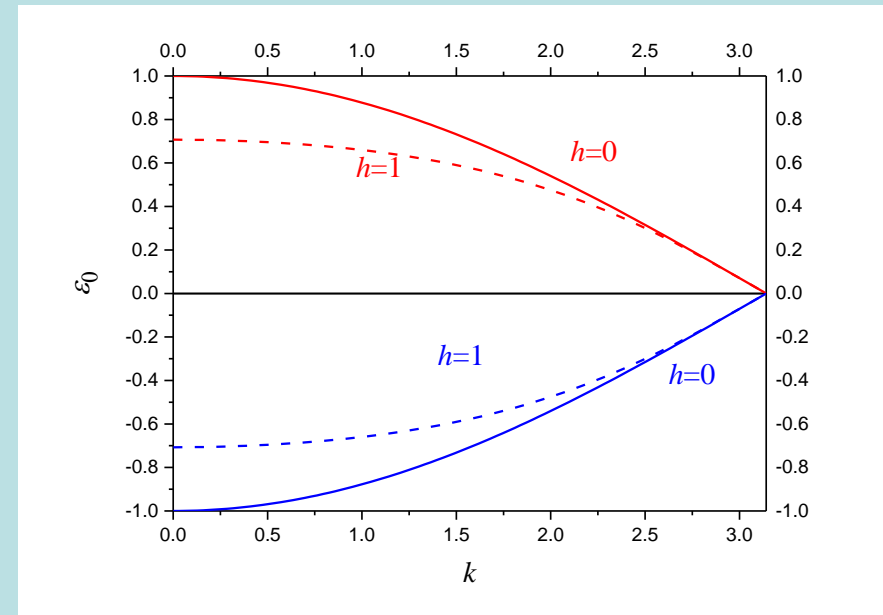
$$\varepsilon_0(k) = \frac{\cos(k/2)}{\sqrt{h^2 + \cos^2(k/2)}}$$

Пробная функция:

$$|\psi\rangle = g_M^{\hat{M}} g_P^{\hat{P}} |\varphi_0\rangle$$

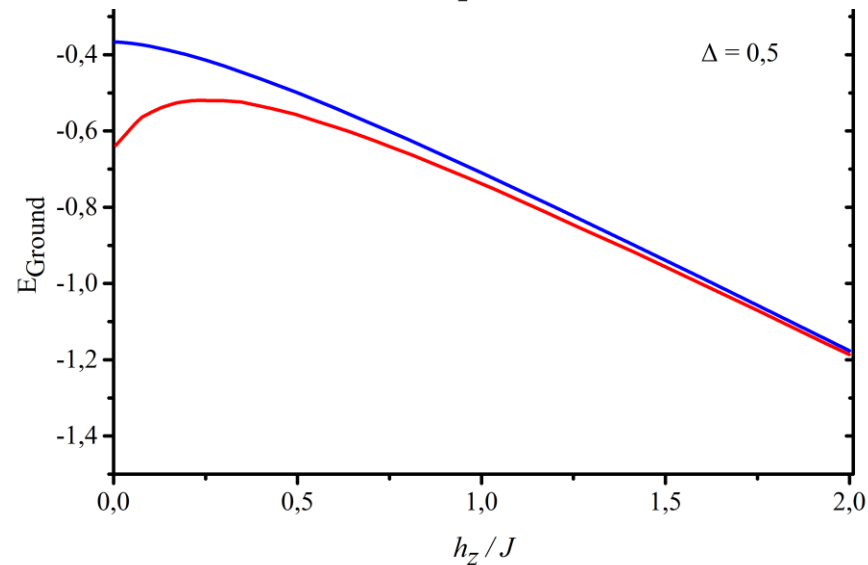
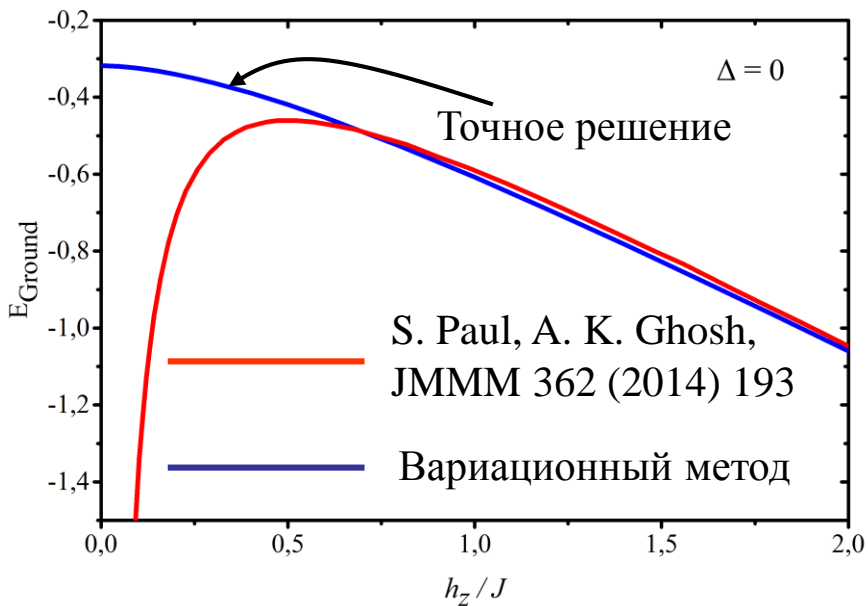
Из 4 параметров – два независимые:

$$\hat{P} = \frac{1}{2} [\hat{Y}_3 + \hat{Y}_2] \quad \hat{M} = \frac{1}{2} [\hat{Y}_3 - \hat{Y}_2]$$

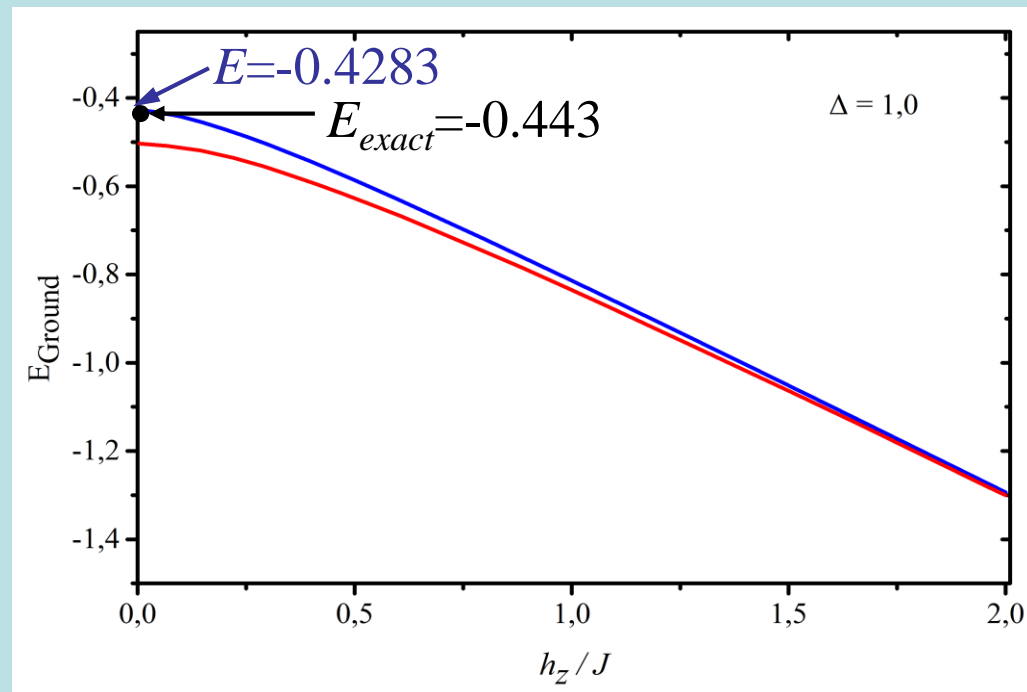


Вероятность	Конфигурация пар узлов А и В	А	В
$y_1$		0	0
$y_2$		1	0
$y_3$		0	1
$y_4$		1	1

# Энергия основного состояния цепочки

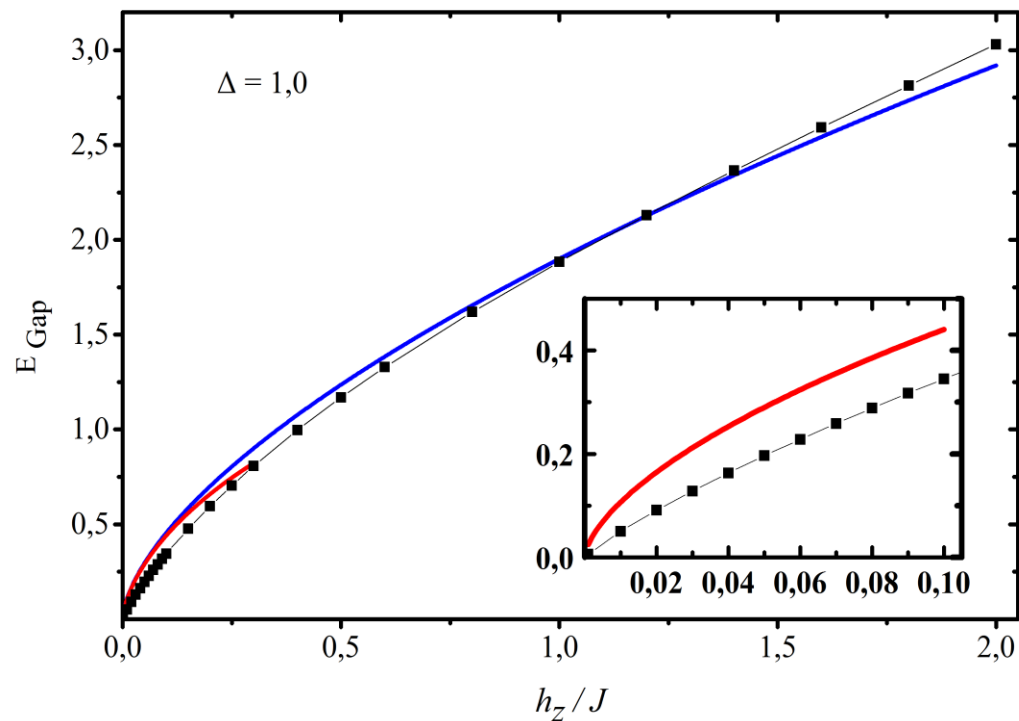
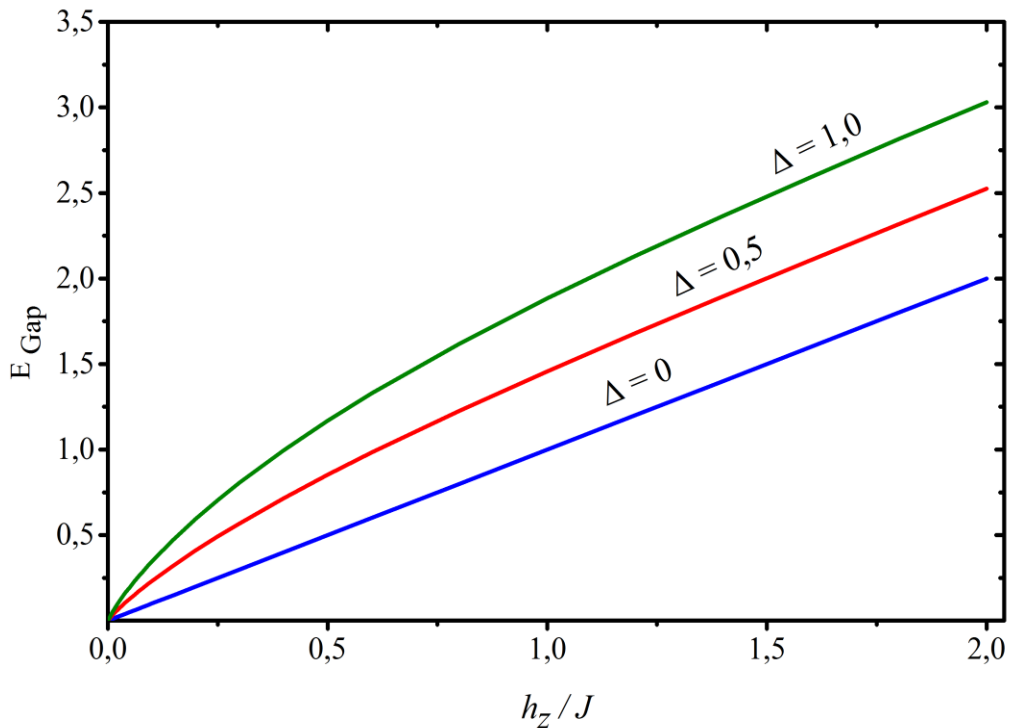


## Изотропная цепочка



# Щель в спектре состояний цепочки

Сравнение с известными решениями  
для изотропной цепочки



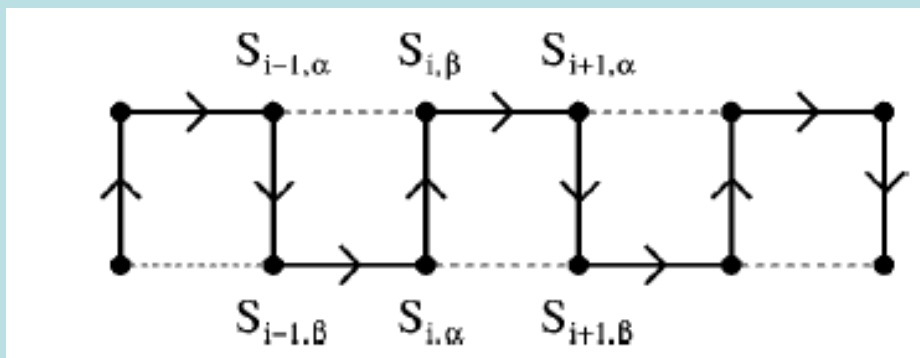
— I.Affleck, M.Oshikawa, PRB **60** (1999) 1038  
(sine-Gordon model)

— N.Shibata, KUeda, J.Phys.Soc.Jpn. **70** (2001) 3690  
(finite-T DMRG)

# Дальнейшее развитие вариационной теории низкоразмерных магнитных систем

## 1. Преобразование Йордана-Вигнера для сложных структур

Параметризация лестничных структур (T.S.Nunner, T.Kopp, PRB **69** (2004) 104419)



$$S_{i,\alpha}^+ = \alpha_i^\dagger \exp \left[ i\pi \sum_{j<i} (\alpha_j^\dagger \alpha_j + \beta_j^\dagger \beta_j) \right],$$
$$S_{i,\beta}^+ = \beta_i^\dagger \exp \left[ i\pi \sum_{j<i} (\alpha_j^\dagger \alpha_j + \beta_j^\dagger \beta_j) \right] e^{i\pi \alpha_i^\dagger \alpha_i},$$

Параметризация 2D и 3D решеток (А.М.Тсвелик. Quantum Field Theory in Condensed Matter Physics - Cambridge University Press (2003))

## 2. Увеличение длины кластера (улучшение приближения в пределе $\Delta=1$ , $\hbar \rightarrow 0$ )



# Заключение

- Вариационный метод исследования сильно коррелированных систем на основе нелокальных пробных волновых функций позволяет вычислять энергию основного состояния, спектры элементарных возбуждений, корреляционные функции
- Возможно исследование различных низкоразмерных магнитных систем
- Многозонные модели с нелокальными корреляциями
- Дальнейшее развитие: гуцвиллеровские и нелокальные волновые функции как функционал плотности; совмещение с первопринципными расчетами (LGA+)

**Спасибо за внимание!**